

## Evaluation of the performance of sediment connectivity and sediment transport capacity indicators in the spatial analysis of the sediment flux pattern in the Neyriz Watershed, Fars Province

Seyed Masoud Soleimanpour<sup>1\*</sup>, Omid Rahmati<sup>2</sup>, Mahmood Arabkhedri<sup>3</sup>, John Tiefenbacher<sup>4</sup>

<sup>1</sup> Associate Professor, Department of Soil Conservation and Watershed Management Research, Fars Agricultural and Natural Resources Research and Education Center, Agricultural Research, Education and Extension Organization (AREEO), Shiraz, Iran

<sup>2</sup> Assistant Professor, Department of Soil Conservation and Watershed Management Research, Kurdistan Agricultural and Natural Resources Research and Education Center, Agricultural Research, Education and Extension Organization (AREEO), Sanandaj, Iran

<sup>3</sup> Professor, Soil Conservation and Watershed Management Research Institute, Agricultural Research, Education and Extension Organization (AREEO), Tehran, Iran

<sup>4</sup> Professor, Department of Geography & Environmental Studies, College of Liberal Arts, Texas State University, San Marcos, U.S.A

### Extended Abstract

#### Introduction

The amount of sediment production, the manner and time of sedimentation, the size and composition of sediment grains, and transport among the waterways network are important features of the sedimentation regime of Watersheds; Because changes in each of these factors cause changes in Watershed performance. Therefore, sediment production is a reflection of the importance and amount of erosion processes and sediment sources in the upstream parts of the Watershed and how sediment is transported and deposited from the moment of movement of erosion materials from the point of separation to the exit of it. Sediment connectivity indicators indicate the spatial changes of connectivity patterns in different parts of the Watershed and provide a suitable estimate of the contribution of sediment sources and sediment transport routes. For this purpose, investigating the spatial pattern of sediment flux at the Watershed scale is of particular importance in developing comprehensive management plans and measures to control erosion and sedimentation. Although various indicators and models have been developed in this field, their performance has not been evaluated based on observational data and statistical methods. This research aims to analyze the sediment flux pattern of the Neyriz Watershed located in the east of Fars Province, based on sediment connectivity and sediment transfer capacity indicators, and compare their performance based on field sediment evidence.

#### Materials and Methods

At first, a digital model of the ground elevation of the Neyriz Watershed with a spatial resolution of 12.5 m was prepared and its drainage network was extracted. Then, the sediment connectivity index was calculated by considering the upstream and downstream features of the Watershed and by considering the roughness factor as the sediment movement resistance factor, and the sediment connectivity map of the Watershed was made. Then, the sediment transport capacity index map was also prepared based on the concept of topography and using the digital model layer of land height. For this purpose, the sediment transport capacity index was calculated for each pixel of Neyriz Watershed in SAGA-GIS software, and a sediment transport map was prepared. Based on field visits to different parts of the Watershed, 30 positions that had evidence of sediment transfer were recorded as observation points of the sediment transfer event. Also, 30 other positions that did not have signs and evidence of sediment transfer were added to the validation database as observation points of no sediment transfer event. The corresponding values of each index were also extracted in the geographic information system and based on the available information, using evaluation methods based on the error matrix including true skill statistic (TSS), efficiency (E), and F score (F-score), the validation of the mentioned indicators was done quantitatively.

#### Results and Discussion

The value of the sediment connectivity index of the Neyriz Watershed in Fars Province varied from -7.24 to 2.43 and its median value was -4.36. The spatial pattern of the sediment connectivity index in this Watershed is such that the middle and western parts have a low amount and the northern, southern, and eastern parts have more amounts. In this research, the drainage network of the Watershed was introduced as the target of receiving the sediment; Parts of the slopes of the Watershed level, which had the conditions of sediment production and transfer were connected to the drainage network in terms of the transfer path, have shown a higher value of connectivity index. This index provides valuable information for

land management by considering the upstream characteristics of each point as well as the characteristics of the transfer path to the sediment-receiving target. The value of the sediment transfer capacity index varied from 7.2 to 23.16 and the average value was 10.19. The value of this index is high in the marginal parts of the Watershed where there are sloping lands, and the middle parts of the Watershed have a small value. Based on the findings, the index of sediment connectivity with the true skill statistic (TSS) of 0.833, the efficiency value (E) of 0.916, and the F score of 0.915 is a better performance than the sediment transport capacity index (TSS= 0.633, E=0.816, F-score=0.825). In addition, based on the values of the false positive component in the error matrix, the sediment transport capacity index predicts high sediment flux potential in many situations; While in the field observations, it was not true.

### Conclusion

Based on statistical evaluation criteria, the sediment connectivity index has been able to better describe the state of sediment flux and is more consistent with field realities. So that the sediment connectivity index, in addition to considering the characteristics of the upstream area of each point of the Watershed, is possible to consider the path of the sediment particle to the target location of the receiver (such as the nearest branch of the network drainage) has made it possible. Based on the findings obtained in this research, although the sediment transfer capacity index in some parts of the Neyriz Watershed of Fars Province was in line with the sediment connectivity index; However, due to the energy-based nature of the flow, this index only considers the local conditions of the points and ignores the features of the upstream area as well as the process of transporting sediment particles to the downstream. Therefore, it is suggested to use the sediment connectivity index in the erosion and sedimentation studies of Watersheds. Because when information about the amount of sediment production is not available; the Sediment connectivity index can provide useful information about the sediment transfer process in the Watershed.

**Keywords:** Geomorphometry, Landscape management, Sediment, Simulation, Watershed management

**Article Type:** Research Article

### Acknowledgment

This study is based on part of the results of a research project entitled “Evaluation and modification of sediment connectivity index for application in smooth Watersheds conditions (case study: Neyriz Watershed, Fars Province)” coded 2-50-29-055-000970, approved by the Soil Conservation and Watershed Management Research Institute. The authors of this paper would like to express their gratitude and appreciation for the cooperation and support of this institution and the Fars Agricultural and Natural Resources Research and Education Center.

### Conflicts of interest

The authors of this article declared no conflict of interest regarding the authorship or publication of this article.

### Data availability statement:

We have no permission to release data and codes.

### Authors' contribution

**Seyed Masoud Soleimani**: Writing original draft, conceptualization; **Omid Rahmati**: Software, manuscript editing, data analysis; **Mahmood Arabkhedri**: Supervision, manuscript editing; **John Tiefenbacher**: Supervision, manuscript editing.

\*Corresponding Author, E-mail: m.soleimanpour@areeo.ac.ir

**Citation:** Soleimanpour, S.M., Rahmati, O., Arabkhedri, M., & Tiefenbacher, J. (2024). Evaluation of the performance of sediment connectivity and sediment transport capacity indicators in the spatial analysis of the sediment flux pattern in the Neyriz Watershed, Fars Province. *Water and Soil Management and Modeling*, 4(3), 239-252.  
DOI: 10.22098/mmws.2024.15007.1454

Received: 4 May 2024., Received in revised form: 28 June 2024, Accepted: 29 June 2024, Published online: 29 June 2024  
*Water and Soil Management and Modeling*, Year 2024, Vol. 4, No. 3, pp. 239-252

Publisher: University of Mohaghegh Ardabili

© Author(s)





# ارزیابی عملکرد شاخص‌های پیوستگی رسوبر و ظرفیت انتقال رسوبر در تحلیل مکانی الگوی شار رسوبر حوزه آبخیز نی‌ریز استان فارس

سید مسعود سلیمان‌پور<sup>۱\*</sup>، امید رحمتی<sup>۲</sup>، محمود عرب‌خدری<sup>۳</sup>، جان تینف‌باچر<sup>۴</sup>

<sup>۱</sup> دانشیار، بخش تحقیقات حفاظت خاک و آبخیزداری، مرکز تحقیقات و آموزش کشاورزی و منابع طبیعی استان فارس، سازمان تحقیقات، آموزش و

ترویج کشاورزی، شیراز، ایران

<sup>۲</sup> استادیار، بخش تحقیقات حفاظت خاک و آبخیزداری، مرکز تحقیقات و آموزش کشاورزی و منابع طبیعی استان کردستان، سازمان تحقیقات، آموزش و

ترویج کشاورزی، سنندج، ایران

<sup>۳</sup> استاد پژوهشکده حفاظت خاک و آبخیزداری، سازمان تحقیقات، آموزش و ترویج کشاورزی، تهران، ایران

<sup>۴</sup> استاد، گروه جغرافیا و مطالعات محیطی، کالج هنرهای لیبرال، دانشگاه ایالتی نی‌ریز، سن مارکوس، ایالت متحده آمریکا

### چکیده

بررسی الگوی مکانی شار رسوبر در حوزه آبخیز در تدوین برنامه‌های مدیریت جامع حوزه آبخیز و اقدامات مهار فرسایش و رسوبر اهمیت ویژه‌ای دارد. اگرچه شاخص‌ها و مدل‌های مختلفی در این زمینه توسعه یافته، اما تاکنون عملکرد آن‌ها بر اساس داده‌های مشاهداتی و روش‌های آماری ارزیابی نشده است. هدف از انجام این تحقیق، تحلیل الگوی شار رسوبر حوزه آبخیز نی‌ریز واقع در شرق استان فارس، مبتنی بر شاخص‌های پیوستگی رسوبر و ظرفیت انتقال رسوبر و مقایسه عملکرد آن‌ها بر اساس شواهد رسوبر میدانی است. بدین منظور، ابتدا، مدل رقومی ارتفاع زمین با قدرت تفکیک مکانی ۱۲/۵ متر تهیه و شبکه زهکشی حوزه آبخیز استخراج شد. شاخص پیوستگی رسوبر بر اساس مؤلفه‌های بالادست و پایین‌دست هر پیکسل و با در نظر گرفتن عامل ناهمواری به عنوان عامل مقاومت جابه‌جاگی رسوبر محاسبه و نقشه پیوستگی رسوبر حوزه آبخیز ساخته شد. نقشه شاخص ظرفیت انتقال رسوبر نیز بر اساس مفهوم زمین‌بخت‌سنگی، با استفاده از لایه مدل رقومی ارتفاع زمین تهیه شد. پس از انجام بازدهی‌های میدانی از بخش‌های مختلف حوزه آبخیز، شواهد مربوط به شار رسوبر بررسی و موقعیت آن‌ها با استفاده از سامانه مکان‌یابی جغرافیایی ثبت شد. در نهایت، با استفاده از روش‌های ارزیابی مبتنی بر ماتریس خطای آماره مهارت صحیح (TSS)، کارایی (E) و امتیاز (F-score) ((F-score = (E - E\_min) / (E\_max - E\_min))) صحت‌سنگی شاخص‌های پیوستگی رسوبر و ظرفیت انتقال رسوبر به صورت کمی انجام گرفت. بر اساس یافته‌ها، شاخص پیوستگی رسوبر با آماره مهارت صحیح (TSS = ۰/۸۳۳، E = ۰/۹۱۶ و F-score = ۰/۹۱۵)، عملکرد بهتری نسبت به شاخص ظرفیت انتقال رسوبر (TSS = ۰/۶۳۳، E = ۰/۸۲۵ و F-score = ۰/۹۰۰) داشته است. علاوه‌بر آن، با استفاده به مقادیر مؤلفه نادرست مثبت در ماتریس خطای شاخص ظرفیت انتقال رسوبر در بسیاری از موقعیت‌ها، پتانسیل شار رسوبر را بالا پیش‌بینی نمود. در حالی که در مشاهدات میدانی، صحت نداشته است. در نهایت، تحلیل‌ها نشان داد که ماهیت و مدل مفهومی شاخص‌ها نقش مهمی در توصیف شار رسوبر حوزه آبخیز نی‌ریز داشته است. به‌گونه‌ای که شاخص پیوستگی رسوبر با در نظر گرفتن مؤلفه‌های بالادست و پایین‌دست هر نقطه، سعی در شبیه‌سازی فرآیند انتقال رسوبرات را دارد. بر اساس یافته‌ها، شاخص پیوستگی رسوبر از قابلیت‌های زیادی برای پایش الگوی شار رسوبر در حوزه‌های آبخیز برخوردار بوده و پیشنهاد می‌شود که در مطالعات آبخیزداری به آن توجه شود.

**واژه‌های کلیدی:** آبخیزداری، رسوبر، زمین‌بخت‌سنگی، شبیه‌سازی، مدیریت سرزمین

### نوع مقاله: پژوهشی

\*مسئول مکاتبات، پست الکترونیکی: m.soleimanpour@areeo.ac.ir

استاد: سلیمان‌پور، سید مسعود، رحمتی، امید، عرب‌خدری، محمود، و تفن‌باچر، جان (۱۴۰۳). ارزیابی عملکرد شاخص‌های پیوستگی رسوبر و ظرفیت انتقال رسوبر در تحلیل مکانی الگوی شار رسوبر حوزه آبخیز نی‌ریز استان فارس. *مدل سازی و مدیریت آب و خاک*, ۳(۳)، ۲۳۹-۲۵۲.

DOI: 10.22098/mmws.2024.15007.1454

تاریخ دریافت: ۱۵/۰۲/۱۵، تاریخ بازنگری: ۱۴۰۳/۰۴/۰۸، تاریخ پذیرش: ۱۴۰۳/۰۴/۰۹، تاریخ انتشار: ۱۴۰۳/۰۴/۰۹

مدل سازی و مدیریت آب و خاک، سال ۱۴۰۳، دوره ۴، شماره ۳، صفحه ۲۳۹ تا ۲۵۲

ناشر: دانشگاه محقق اردبیلی



## ۱- مقدمه

مقدار تولید رسوبر، چگونگی و زمان رسوبردهی، اندازه و ترکیب دانه‌های رسوبری، انتقال آن در بین شبکه آبراهه‌ها، از ویژگی‌های مهم رژیم رسوبردهی حوزه‌های آبخیز به‌شمار می‌رند؛ زیرا تعییر در هر یک از این عوامل، باعث تعییر عملکرد حوزه‌های آبخیز می‌شوند. بنابراین، تولید رسوبر، انعکاسی از اهمیت و مقدار فرآیندهای فرسایشی و منابع رسوبر در قسمت‌های بالادست حوزه آبخیز و چگونگی انتقال و ذخیره رسوبر از لحظه حرکت مواد فرسایشی از نقطه جدایی تا خروجی حوزه آبخیز است. در نتیجه پدیده تولید رسوبر، پیچیده‌تر از فرسایش بوده و عامل‌های زیادی بر آن مؤثر است. علاوه‌براین، مقدار نسبت حمل رسوبر یک حوزه آبخیز خاص، تحت تأثیر دامنه وسیعی از عوامل محیطی و ژئومورفولوژی قرار دارد. این عوامل شامل وضعیت، وسعت و محل منابع رسوبر، خصوصیات پستی و بلندی و شیب، الگوی زهکشی و شرایط رودخانه، پوشش گیاهی، استفاده از زمین و بافت خاک هستند (Rahmati et al., 2022).

مفهوم "پیوستگی" یا "Connectivity" در ابتدا در علوم ریاضی و فیزیک معرفی و سپس در علوم زمین به کار برده شد (Keesstra et al., 2018). با آغاز قرن ۲۱، مطرح شدن این مقوله در علوم هیدرولوژی و با نگاهی ویژه به بحث "رسوب" و با واژه تخصصی "پیوستگی رسوبر"، گسترش یافته و تاکنون نیز در زمینه‌های مختلف مدیریت حوزه‌های آبخیز مورد استفاده قرار گرفته است. پیوستگی رسوبر، نشان‌دهنده اتصال و یا عدم اتصال مسیرهای رواناب و رسوبر در یک نقطه زمانی معینو در یک سامانه تحت فرآیندهای جدایش، انتقال و رسوبرگاری است (Najafi et al., 2021). بنابراین، پیوستگی رسوبر را می‌توان در مقیاس‌های مختلف مانند کرت، دامنه و حوزه آبخیز مورد بررسی قرارداد. "دامنه‌ها" در سامانه آبخیز نقش کلیدی دارند که پیش‌بینی تولید رسوبر در مقیاس دامنه از چالش‌های اصلی تحقیقات مرتبط با مباحث ژئومورفولوژی است، به این علت که دامنه‌ها، محل آغازین تولید و انتقال رسوبر در فرآیند فرسایش و تحويل رسوبر به پایین‌دست هستند (Poesen, 2018). هم‌چنین، ویژگی‌های هر دامنه در میزان تحويل رسوبر خالص به رودخانه‌ها و بستر دره‌ها نقش مؤثری دارند؛ زیرا بر تهنشست رسوبرات و پیوستگی اثرگذار هستند (Houben, 2008). هم‌چنین، پیوستگی رسوبر، عمدتاً تحت تأثیر تداوم (عدم) طولی آبراهه‌ها است که با فرورفتگی‌ها و تلاقی آبراهه‌ها مرتبط است (Lu et al., 2019).

(تعییر کاربری اراضی و رها شدن زمین) و اثرات ترکیبی بستگی دارد (Mishra et al., 2019). بنابراین، پیوستگی رسوبر در مقیاس حوزه‌های آبخیز از پیوند اجزای تشکیل‌دهنده حوزه‌های آبخیز، مانند آبراهه‌ها و دامنه‌ها و با توجه به انتقال رسوبر پدید می‌آید که شامل پیوستگی عرضی (پیوستگی در دامنه و دامنه به آبراهه)، پیوستگی طولی (درون شبکه آبراهه‌ای) و پیوستگی عمودی (پیوستگی سطحی به زیرسطحی) است (Fryirs et al., 2007; Bracken et al., 2015; Keesstra et al., 2018; Poeppel et al., 2020). جریان مداوم رواناب و توانایی آن در انتقال مواد بین بالادست و پایین‌دست و مسیرهای جریان پیوسته که می‌تواند عبور جریان آب را تضمین کند؛ موجب پیوستگی بالای طولی در آبراهه‌ها می‌شود (Zhang et al., 2021). پیوستگی‌های عرضی، طولی و عمودی، در مقیاس حوزه آبخیز با هم ترکیب می‌شوند یا بر هم‌کنش دارند و انتقال رسوبر به خروجی حوزه آبخیز را تعیین می‌کنند (Heckmann et al., 2018; Arabkhedri et al., 2022). در نتیجه این شاخص، بیان‌گر تعییرات مکانی الگوهای پیوستگی در بخش‌های مختلف حوزه آبخیز است و تخمین مناسبی از مشارکت منابع رسوبر و مسیرهای انتقال رسوبر ارائه می‌دهد. در این خصوص باید توجه داشت که "شار رسوبر"، بیان‌گر آهنگ انتقال رسوبر در واقعیت است و "دبی رسوبر"، کمیتی است که شار رسوبر را بیان می‌کند. این در حالی است که اصطلاح "پیوستگی رسوبر"، بیان‌گر پتانسیل حرکت رسوبر از بالادست به پایین‌دست حوزه آبخیز است (Soleimanpour et al., 2024).

در دو دهه گذشته، "شاخص پیوستگی رسوبر"، به عنوان ابزاری کارآمد در تبیین و توصیف فرآیند انتقال رسوبر در حوزه آبخیز به کار برده شده است (Borselli et al., 2008; Cavalli et al., 2013). شاخص پیوستگی رسوبر، از جمله شاخص‌های کاربردی است که اطلاعات ارزشمندی از پتانسیل انتقال رسوبر در مقیاس حوزه آبخیز در اختیار کارشناسان بخش اجرا قرار می‌دهد تا کارایی اقدامات حفاظت خاک و مهار رسوبر ارتقاء یابد. هم‌چنین، اثر اقدامات حفاظت خاک و آبخیزداری و یا دخالت‌های انسانی (تضعیف پوشش گیاهی در اثر چرای دام، تعییر کاربری اراضی و غیره)، بر پتانسیل انتقال رسوبر می‌تواند از طریق شاخص پیوستگی رسوبر بررسی و ارزیابی شود (Kalantari et al., 2017; López-Vicente and Ben-Salem, 2019). یافته‌های محققان زیادی نشان‌دهنده کارایی مناسب شاخص پیوستگی رسوبر است. به عنوان مثال، (Bracken et al., 2015) مفهوم پیوستگی رسوبر را به عنوان چارچوب درک فرآیندهای دخیل در انتقال رسوبر در مقیاس‌های چندگانه معرفی کردند. یافته‌های آن‌ها نشان داد نفوذ آب در خاک یکی از عوامل مؤثر بر

میزان پیوستگی رسوبر بین بخش‌های مختلف یک حوزه آبخیز، عمدتاً به ویژگی‌های داخلی حوزه آبخیز (مورفولوژی) حوزه آبخیز، شیب، شکل، پستی و بلندی و ارتفاع)، ویژگی‌های آبراهه (شیب، تراکم شبکه جریان، محصور شدن دره)، پوشش گیاهی

رسوب هستند؛ امکان استفاده از آن حتی در حوزه‌های آبخیز فاقد آمار کشور نیز فراهم است. بنابراین، بررسی الگوی مکانی شار رسوبر در مقیاس حوزه آبخیز در تدوین برنامه‌های مدیریت جامع حوزه آبخیز و اقدامات مهار فرسایش و رسوبر از اهمیت بسیار ویژه‌ای برخوردار است. نکته حائز اهمیت این است که اگر چه شاخص‌ها و مدل‌های مختلفی در این زمینه توسعه یافته‌اند؛ اما تاکنون عملکرد آن‌ها بر اساس داده‌های مشاهده‌ای و روش‌های آماری مورد مقایسه قرار نگرفته است. به این سبب، هدف از انجام این تحقیق، تحلیل الگوی شار رسوبر حوزه آبخیز نریز در شرق استان فارس، مبتنی بر شاخص‌های پیوستگی رسوبر و ظرفیت انتقال رسوبر و مقایسه عملکرد آن‌ها بر اساس شواهد رسوبر میدانی است. این حوزه آبخیز یکی از مناطق فاقد ایستگاه هیدرومتری کشور است که اطلاعات دقیقی از وضعیت و تغییرات مکانی شار رسوبر آن در دست نیست و به همین دلیل در این تحقیق برای مطالعه انتخاب شده است.

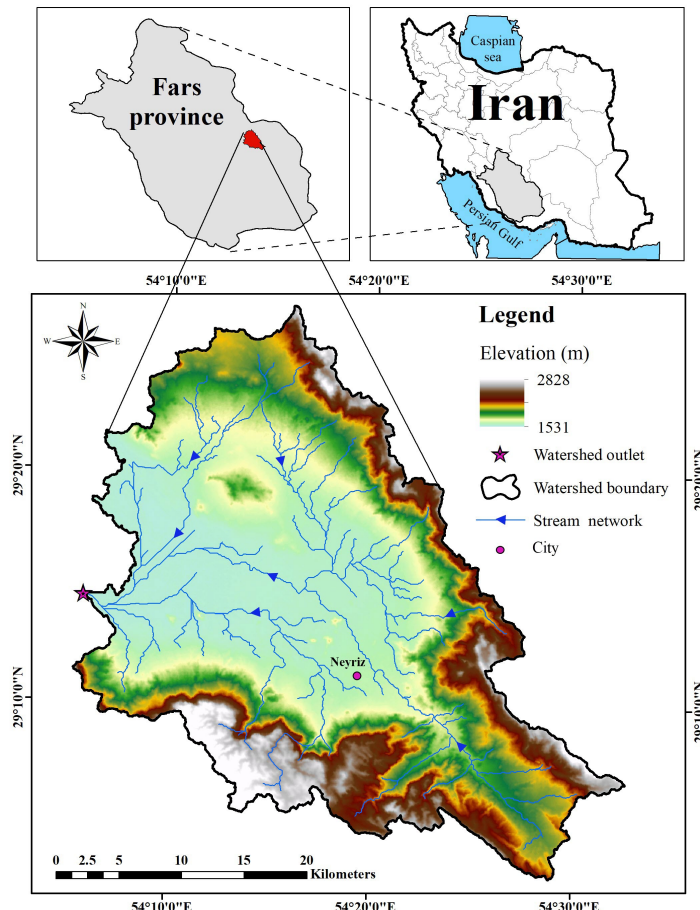
## ۲- مواد و روش‌ها

### ۱-۱- منطقه مورد مطالعه

حوزه آبخیز نریز در شرق استان فارس در محدوده طول جغرافیایی  $30^{\circ} 30' E$  و  $54^{\circ} 15' E$  تا  $33^{\circ} 10' E$  و  $54^{\circ} 30' E$  شرقی و عرض جغرافیایی  $29^{\circ} 20' N$  و  $27^{\circ} 25' N$  شمالي قرار گرفته است (شکل ۱). این حوزه آبخیز در نقشه‌های توپوگرافی ۱:۲۵۰۰۰۰ شماره ۹-۴۰ NH40-N نریز، ۱:۵۰۰۰۰ نریز و ۱:۲۵۰۰۰ شماره ۸۴۸ IIINW نریز و روی آبرفت‌های حاصل از فرسایش پهنه‌های مارنی می‌باشد. این حوزه آبخیز در میان توابع شهرهای نریز، ۱۰۶۹۷ هکتار بوده و آبراهه‌های فعال نریز دارد (Soleimanpour et al., 2024). ارتفاع متوسط منطقه  $1630$  متر از سطح دریا و شیب متوسط منطقه سه درصد است. تیپ اراضی در این حوزه آبخیز دشت دامنه‌ای است. اقلیم منطقه بر اساس روش دومارتن گسترده اقلیم خشک بیابانی سرد است. متوسط دمای سالانه و بارندگی سالانه طبق آمار ساله  $21$  (۱۳۹۹-۱۳۷۹)، به ترتیب معادل  $19/5$  درجه سانتی‌گراد و  $197/96$  میلی‌متر است و حداکثر بارندگی روزانه در دوره مذکور برابر با  $67/8$  میلی‌متر بوده است (Website of the General Department of Meteorology )

(of Fars Province, 2023

پیوستگی رسوبر است که بر جریان متصل رواناب در سطح دامنه تأثیر گذاشته و باعث ایجاد ناهمگنی مکانی در پیوستگی دامنه و حوزه آبخیز می‌شود. در ادامه، (Najafi et al. (2018) در حوزه آبخیز تهم زنجان نشان دادند که شاخص پیوستگی رسوبر قادر به بررسی خصوصیات سامانه آبخیز است و پتانسیل جایه‌جایی ذرات رسوبر در سراسر این سامانه را بررسی می‌کند. در تحقیق دیگری، (Lenra et al. (2019) رویکرد پیوستگی رسوبر را به عنوان ابزاری مفید برای شناسایی خطرات بالقوه مرتبط با تغییرات مورفوژئیکی و کاربری زمین شامل زیرساخت‌های جاده‌ای، معرفی کردند. در تحقیقی، (Zingaro et al. (2019) با بررسی پیوستگی رسوبر، اقدام به تولید نقشه شاخص پیوستگی جریان رسوبر کردند و بیان داشتند که نقشه تولید شده، عملکرد خوبی در پیش‌بینی موقعیت‌ها و مسیرهای تجمع رسوبرات ارائه کرده است. از سایر تحقیقات، (Buter et al. (2020) سامانه اطلاعات جغرافیایی و استفاده از فناوری‌های نوین پهبهادی و اسکن لیزر هوایی را در تحلیل پیوستگی رسوبر مؤثر تشخیص دادند و مفهوم پیوستگی رسوبر را به منظور برنامه‌ریزی و مدیریت اراضی، سودمند اعلام کردند. نتایج تحقیق Zingaro et al. (2020) نیز نشان داد که تطابق خوبی بین مناطق دارای پیوستگی رسوبر بالا با وقوع سیل وجود دارد و عملکرد تشخیص شاخص پیوستگی رسوبر جریان را تأیید کردند. در استان گلستان نیز، (Arabkhedri et al. (2021) رابطه میان تولید رسوبر و بیژن و شاخص پیوستگی رسوبر را در  $11$  حوزه آبخیز کوچک که پتانسیل فرسایش یکسانی دارند را مورد تحلیل قرار دادند. نتایج تحقیق آن‌ها نشان داد در مواقعی که اطلاعاتی از میزان تولید رسوبر در دسترس نیست؛ شاخص پیوستگی رسوبر می‌تواند اطلاعات مفیدی از فرآیند انتقال رسوبر در حوزه آبخیز ارائه نماید. در خامسان استان کردستان، (Rahmati et al. (2022) تأثیر اقدامات آبخیزداری بر پیوستگی رسوبر در زیرحوزه‌های آبخیز نمونه و شاهد را ارزیابی کردند. نتایج نشان داد که سازه‌های آبخیزداری موجب کاهش پیوستگی رسوبر آبراهه شده و دامنه اثرات آن‌ها از  $5/9$  تا  $92$  درصد متغیر بود که موقعیت مکانی قرارگیری سازه نریز می‌تواند نقش مهمی در میزان تأثیر آن بر شار رسوبر داشته باشد. همچنین، (Batista et al. (2022) کارایی شاخص پیوستگی رسوبر در فرسایش خاک در اراضی کشاورزی را مورد تأکید قرار دادند. در نهایت، (Liu et al. (2022) شاخص پیوستگی رسوبر را به عنوان ابزاری آسان و مناسب برای مطالعه فرسایش خاک و تحويل رسوبر در حوزه‌های آبخیز معرفی کردند. با توجه به موارد فوق و از آن جایی که شاخص‌های پیوستگی رسوبر و ظرفیت انتقال رسوبر بدون نیاز به داده‌های ایستگاه هیدرومتری و رسوبر سنگی، قادر به ارائه وضعیت پتانسیل انتقال



شکل ۱- موقعیت حوزه آبخیز نی ریز در ایران و استان فارس  
Figure 1- Location of Neyriz Watershed in Iran and Fars Province

در رابطه بالا، ISC شاخص پیوستگی رسوب،  $D_{up}$  خصوصیات بالادست حوزه آبخیز و  $D_{dn}$  ویژگی‌های پایین‌دست حوزه آبخیز هستند. هر چه مقدار مؤلفه ISC بالاتر باشد، پیوستگی رسوب حوزه آبخیز بیشتر بوده و رسوبات راحت‌تر و در زمان کمتری به خروجی حوزه آبخیز می‌رسند. مؤلفه  $D_{up}$  تعیین‌کننده پتانسیل انتقال رسوب از مناطق بالادست حوزه آبخیز است و بر اساس رابطه زیر محاسبه شد:

$$D_{up} = \bar{W} \bar{S} \sqrt{A} \quad (2)$$

در رابطه فوق پارامترهای  $\bar{W}$  و  $\bar{S}$  به ترتیب متوسط عامل وزن داده شده و متوسط شبیه بالادست حوزه آبخیز هستند. عامل  $A$  در رابطه شاخص پیوستگی، مساحت بالادست حوزه آبخیز است. هنگامی که شاخص پیوستگی برای یک پیکسل محاسبه می‌شود، عامل  $A$  مساحت بالادست آن پیکسل است. عامل وزن داده شده می‌تواند بر اساس نظر کارشناس انتخاب شود. در حالت پیش‌فرض رابطه، از نسبت شاخص ناهمواری<sup>۱</sup>

## ۲-۲- روشن تحقیق

۱- تهیه مدل رقومی ارتفاع  
مدل رقومی ارتفاعی زمین تغییرات ارتفاعی زمینه را به صورت پیوسته نشان می‌دهد و مبنای محاسبه بسیاری از متغیرهای زئومورفومتری و فیزیوگرافی حوزه آبخیز است. نقشه مدل رقومی ارتفاعی زمین مربوط به گستره حوزه آبخیز نی ریز با قدرت تفکیک مکانی ۱۲/۵ متر از سایت EarthData که به مدل رقومی ارتفاعی آلوس پالسار شهرت دارد دریافت شد (<https://search.asf.alaska.edu>).

## ۲-۲-۲- شاخص پیوستگی رسوب

در این تحقیق، شاخص پیوستگی رسوب با در نظر گرفتن ویژگی‌های بالادست و پایین‌دست حوزه آبخیز، بر اساس رابطه ارائه شده توسط Borselli et al. (2008) محاسبه شد:

$$ISC = \log_{10} \left[ \frac{D_{up}}{D_{dn}} \right] \quad (1)$$

<sup>۱</sup> Roughness index

در رابطه مذکور AS مساحت بالادست پیکسل، B شیب زمین برحسب درجه، m ضریب مساحت مشارکت کننده در تولید رواناب و n ضریب شیب زمین است. مقدار  $m$ , غالباً  $0.4$  و  $n = 1/4$  در نظر گرفته می‌شود. این شاخص در تحلیل‌های فرآیندی Kheir فرسایش و رسوبر حوزه آبخیز نیز کاربرد وسیعی دارد (et al. 2007). به این منظور، شاخص ظرفیت انتقال رسوبر برای هر پیکسل از حوزه آبخیز نیز ریز، در نرمافزار SAGA-GIS محاسبه و نقشه انتقال رسوبر تهیه شد.

#### ۴-۲-۲- صحبت‌سنگی و تحلیل شواهد میدانی

اتکا به نتایج تامامی شاخص‌ها و مدل‌های پیش‌بینی که برای توصیف وضعیت شار رسوبر یک حوزه آبخیز مطرح شده‌اند، نیازمند بازدیدهای میدانی و بررسی شواهد است. در بازدیدهای میدانی این تحقیق، شواهد سطح زمین که نشان‌دهنده پدیده حرکت و انتقال رسوبر بودند، موقعیت مکانی آن‌ها ثبت شد. به عنوان مثال، شیارهای بزرگ ایجاد شده در سطح زمین و نزدیکی آبراهه‌ها که در اثر تنش برشی و همگرایی جریان‌ها به وجود آمده‌اند و رسوبات بالادست از آن میسرها به راحتی به شبکه زهکشی منتقل می‌شوند، یک شاهد عینی برای شار رسوبر هستند. همچنین، بهمنظور افزایش اطمینان از تحلیل‌های مرحله صحبت‌سنگی از سه نفر کارشناس با تجربه در زمینه فرسایش و رسوبر و دارای شناخت کافی از منطقه، در بازدیدهای میدانی و ثبت شواهد مربوط به انتقال رسوبر دعوت شد.

به‌منظور ارزیابی کمی دقت پیش‌بینی شاخص‌های پیوستگی رسوبر و ظرفیت انتقال رسوبر از سه معیار کمی آماری آماره Mهارت صحیح<sup>۶</sup> (TSS)، کارایی<sup>۷</sup> (E) و آماره امتیاز F<sup>۸</sup> استفاده شد. این معیارهای ارزیابی که براساس ماتریس خطا محاسبه می‌شوند، در پیش‌بینی‌های موضوعی مختلف در علوم محیطی از جمله شناسایی منابع رسوبر، پیش‌بینی جریان گلی<sup>۹</sup>، زمین‌لغزش و فرسایش خندقی کاربرد وسیعی دارند (Frattini et al. 2010; Hirschberg et al. 2021; Soleimanpour et al. 2021; Derakhshan-Babaei et al. 2022). میارهای آماره مهارت صحیح، کارایی و امتیاز F با استفاده از رابطه‌های زیر محاسبه شدند (Allouche et al. 2006; Rahmati et al. 2019)

$$TSS = \frac{TP}{TP + FN} - \frac{FP}{FP + TN} \quad (7)$$

$$TSS = \frac{TP + TN}{TP + TN + FP + FN} \quad (8)$$

حوزه آبخیز به عنوان عامل وزن داده شده انتخاب شده است و به نام  $W_{cavalli}$  شناخته شده است که بر اساس رابطه زیر قابل محاسبه است:

$$W_{cavalli} = 1 - \left[ \frac{RI}{RI_{max}} \right] \quad (3)$$

در این رابطه، RI مقدار ناهمواری هر پیکسل از حوزه آبخیز است و در نرمافزار SAGA-GIS محاسبه شد. پارامتر  $RI_{max}$  بیشترین مقدار ناهمواری در مقیاس حوزه آبخیز است. مقدار پارامتر RI نیز بر اساس رابطه زیر بدست آمد (Cavalli and Marchi, 2008

$$RI = \sqrt{\frac{\sum_{i=1}^{25} (X_i - X_m)}{25}} \quad (4)$$

در رابطه (4)، مقدار  $X_i$  نشان‌دهنده ارتفاع پیکسل‌های حوزه آبخیز و  $X_m$  ارتفاع متوسط حوزه آبخیز هستند که در یک فیلتر متحرک که پنج در پنج برای محاسبه شاخص ناهمواری استفاده می‌شوند. مؤلفه  $D_{dn}$  در رابطه اصلی پیوستگی رسوبر نیز شرایط محیط را برای انتقال رسوبر از یک منبع به خروجی (یا مخزن) ارزیابی می‌نماید. مؤلفه  $D_{dn}$  با استفاده از رابطه زیر محاسبه شد (Heckmann et al., 2018)

$$D_{dn} = \sum \frac{d_i}{W_i S_i} \quad (5)$$

در آن،  $d_i$  طول مسیر جریان،  $W_i$  مقدار عامل وزنی و  $S_i$  مقدار شیب در پیکسل  $i$  است. عموماً شاخص پیوستگی رسوبر در دو زمینه پیوستگی رسوبر ساختاری<sup>۱</sup> و فرآیندی<sup>۲</sup> مورد استفاده قرار گرفته است. براساس هدف این تحقیق و با عنایت به این که ماهیت شاخص ظرفیت انتقال رسوبر مبتنی بر توبوگرافی سطح زمین است، پیوستگی رسوبر ساختاری مدنظر قرار گرفت. شاخص پیوستگی رسوبر ساختاری به ارتباط فیزیکی<sup>۳</sup> میان بخش‌های مختلف یک حوزه آبخیز می‌پردازد.

۴-۲-۳- شاخص ظرفیت انتقال رسوبر (STCI) با استفاده از تئوری توان جریان واحد<sup>۴</sup> (USPT) تعریف شده است که به عنوان یکی از عوامل ژئومورفومتری در مطالعات حوزه آبخیز به طور وسیع مورد استفاده قرار گرفته است. این شاخص بر اساس رابطه زیر محاسبه شد (De Roo, 1998)

$$STCI = (m + 1) \left( \frac{A_g}{22.13} \right)^m \cdot \sin \left( \frac{B}{0.896} \right)^n \quad (6)$$

<sup>1</sup> Structural sediment connectivity

<sup>2</sup> Functional sediment connectivity

<sup>3</sup> Physical linkage

<sup>4</sup> Sediment transport capacity index

<sup>5</sup> Unit stream-power theory

<sup>6</sup> True skill statistic

<sup>7</sup> Efficiency

<sup>8</sup> F-score

<sup>9</sup> Debris-flow

به منظور تشرییح بهتر الگوی تغییرات مکانی شاخص پیوستگی رسوب، سه بخش با فواصل مختلف از شبکه زهکشی و ناهمواری در نقشه، بزرگ‌نمایی شده است. همان‌گونه که ملاحظه می‌شود وضعیت پیوستگی رسوب در بخش بزرگ‌نمایی اول (الف) نقشه، کاملاً پیوسته بوده و رسوبات می‌توانند در نهایت به شبکه زهکشی انتقال یابند. در قسمت بزرگ‌نمایی دوم (ب) نقشه، یک وضعیت متفاوت مشاهده می‌شود. به گونه‌ای که مقدار شاخص پیوستگی رسوب کم بوده و اتصال ساختاری سطح دامنه و شبکه زهکشی، انتقال رسوب به سادگی میسر نیست. در تحلیل بخش بزرگ‌نمایی سوم (ج) نقشه شاخص پیوستگی رسوب نیز می‌توان وضعیت شار رسوب را پیوسته تلقی کرد و رسوبات پس از پیمودن مسافت نسبتاً طولانی در نهایت به نزدیکترین شاخه شبکه زهکشی حوزه آبخیز متقل می‌شوند. اگر چه این حوزه آبخیز از نظر توپوگرافی نسبتاً هموار است و از تنوع و پیچیدگی ریخت‌شناسی زیادی برخوردار نیست؛ اما با این وجود، تغییرات مکانی شاخص پیوستگی رسوب قابل ملاحظه است. به عبارت دیگر، وضعیت شار رسوب قسمت‌های مختلف حوزه آبخیز نی ریز بر اساس شاخص پیوستگی رسوب قابل تفسیر است. این شاخص با در نظر گرفتن خصوصیات بالادست هر نقطه و خصوصیات مسیر انتقال تا هدف تحويل‌گیرنده رسوب، اطلاعات ارزشمندی برای مدیریت سرزمین ارائه می‌دهد. یافته‌های این بخش با نتایج تحقیق سرزمین Najafi et al. (2017) همخوانی دارد به گونه‌ای که مناطق نزدیک شبکه زهکشی که درجه شیب بالادست آن‌ها زیاد است، مقدار شاخص پیوستگی رسوب بالاتری داشته و به دلیل مهیا نبودن شرایط تله‌اندازی رسوب، از پتانسیل بیشتری برای انتقال رسوب برخوردارند.

$$TSS = \frac{2TP}{2TP + FP + FN} \quad (9)$$

در روابط بالا، TN، FP و TP به ترتیب صحیح منفی<sup>۱</sup>، نادرست مثبت<sup>۲</sup>، نادرست منفی<sup>۳</sup> و صحیح مثبت<sup>۴</sup> و تشکیل دهنده ماتریس خطأ<sup>۵</sup> هستند. ماتریس خطأ و مؤلفه‌های آن در جدول ۱ نشان داده شده است. در این تحقیق، بر اساس بازدیدهای میدانی از بخش‌های مختلف حوزه آبخیز، ۳۰ موقعیت که دارای شواهد انتقال رسوب بودند، به عنوان نقاط مشاهداتی رخداد انتقال رسوب ثبت شدند. ۳۰ موقعیت دیگر که فاقد آثار و شواهد انتقال رسوب بودند نیز به عنوان نقاط مشاهداتی عدم رخداد انتقال رسوب به پایگاه داده صحیح‌سنجی اضافه شدند. مقادیر متناظر هر یک از شاخص‌ها نیز در سامانه اطلاعات جغرافیایی استخراج شد و بر اساس اطلاعات موجود، ماتریس خطأ برای هر شاخص تکمیل شد. زیرا معیارهای ارزیابی امکان مقایسه کمی شاخص‌های شار رسوب را فراهم می‌کنند.

جدول ۱- مؤلفه‌های ماتریس خطأ به منظور انجام صحیح‌سنجی

Table 1- The components of the error matrix to perform validation

		مشاهداتی		پیش‌بینی
		عدم وجود پتانسیل انتقال-	وجود پتانسیل انتقال-	
		رسوب (+)	رسوب (-)	
نادرست مثبت (FP)	صحیح منفی (TN)		عدم وجود شواهد انتقال-	
صحیح مثبت (TP)	نادرست منفی (FN)	وجود شواهد انتقال رسوب (+)	رسوب (-)	

### ۳- نتایج و بحث

#### ۱-۱- الگوی مکانی شاخص پیوستگی رسوب

نقشه شاخص پیوستگی رسوب حوزه آبخیز نی ریز استان فارس در شکل ۲ نشان داده شده است. مقدار این شاخص در این حوزه آبخیز از ۷/۲۴ تا ۲/۴۳ متفاوت بود و مقدار میانه آن ۴/۳۶ به دست آمد. الگوی فضایی شاخص پیوستگی رسوب در این حوزه آبخیز به گونه‌ای است که بخش‌های میانی و غربی از مقدار کم و بخش‌های شمالی، جنوبی و شرقی مقادیر بیشتری را به خود اختصاص داده‌اند. از آن جایی که در این تحقیق، شبکه زهکشی به عنوان هدف تحويل‌گیرنده رسوب معرفی شد، بخش‌هایی از دامنه‌های سطح حوزه آبخیز که شرایط تولید و انتقال رسوب را داشته و از نظر مسیر انتقال به شبکه زهکشی متصل بوده‌اند، مقدار شاخص پیوستگی بیشتری را نشان دادند.

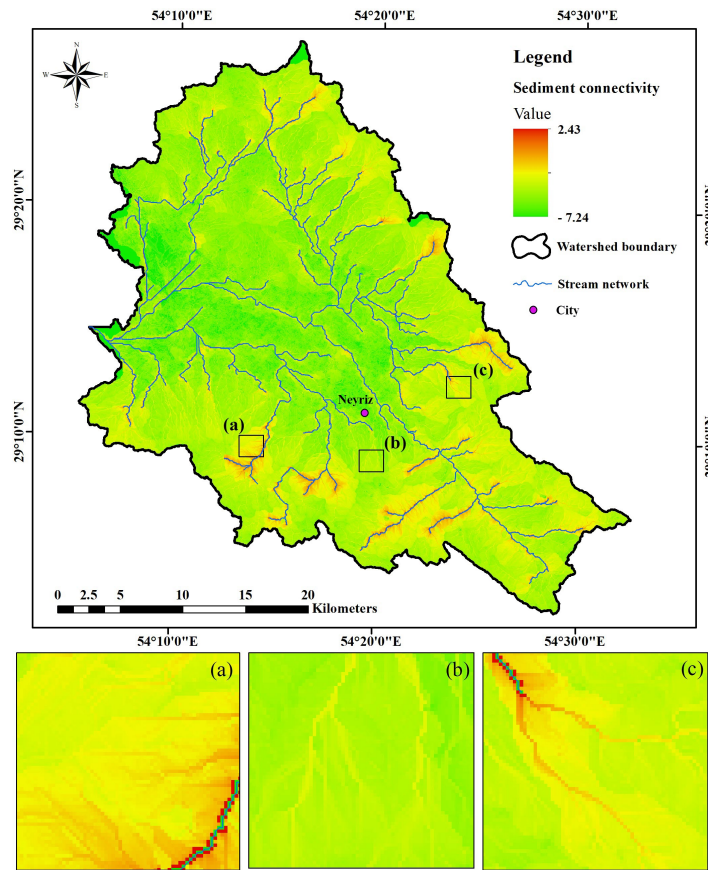
<sup>1</sup> True negative

<sup>2</sup> False positive

<sup>3</sup> False negative

<sup>4</sup> True positive

<sup>5</sup> Error matrix



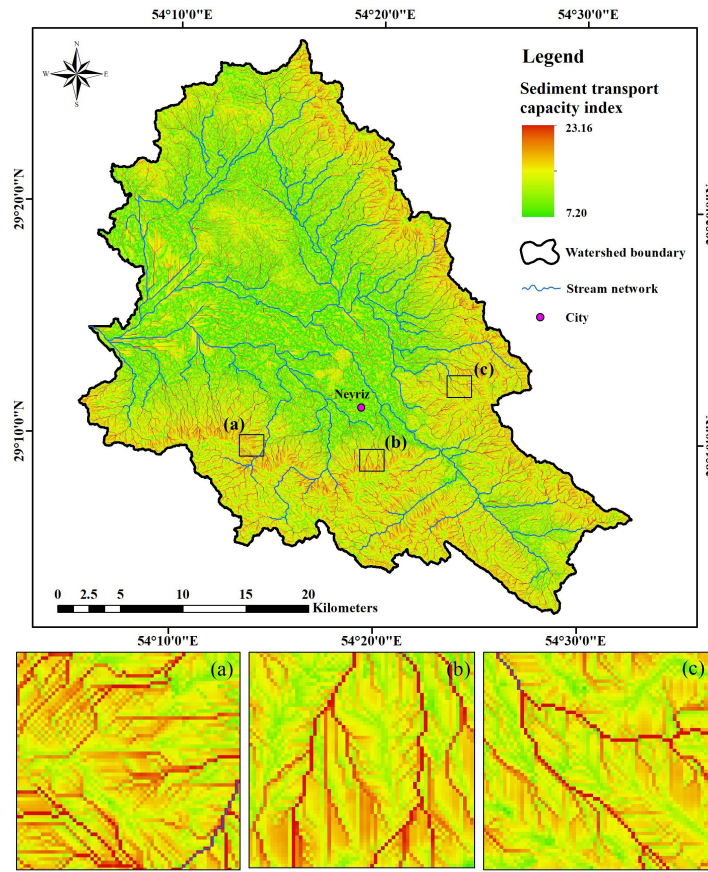
شکل ۲- نقشهٔ شاخص پیوستگی رسوبر حوزهٔ آبخیز نی ریز استان فارس  
Figure 2- Sediment connectivity index map of Neyriz Watershed in Fars province

سوم (ج) نیز پتانسیل زیاد انتقال رسوبر از اراضی بالادست به اراضی پایین‌دست بهروشی نشان داده شده است. بر اساس تحلیل‌های مکانی منتج شده از نقشهٔ شاخص ظرفیت انتقال رسوبر، می‌توان استنباط کرد که شاخص ظرفیت انتقال رسوبر تابع شرایط محلی هر سلول بوده و در نسبت‌هایی که شبی زمین زیاد است، انرژی جریان قابل توجه بوده و به تبعیت از آن، مقدار شاخص ظرفیت انتقال رسوبر بالا به دست آمده است. این ویژگی شاخص ظرفیت انتقال رسوبر در این تحقیق با یافته‌های Arab et al. (2020) در حوزهٔ آبخیز بهادریگ انطباق کامل دارد؛ به‌گونه‌ای که ایشان نیز شاخص ظرفیت انتقال رسوبر را تا حد زیادی هم راستا با شاخص توان جریان<sup>۱</sup> (SPI) دانسته‌اند.

**۲-۳- الگوی مکانی شاخص ظرفیت انتقال رسوبر**  
نقشهٔ شاخص ظرفیت انتقال رسوبر حوزهٔ آبخیز نی ریز استان فارس در شکل ۳ نشان داده شده است. بر اساس نتایج به دست آمده، مقدار شاخص ظرفیت انتقال رسوبر در این حوزهٔ آبخیز از ۷/۲ تا ۲۳/۱۶ متغیر بوده و میانه آن ۱۰/۱۹ است. همان‌گونه که ملاحظه می‌شود، مقدار این شاخص در بخش‌های حاشیه حوزهٔ آبخیز که اراضی شبیدار قرار دارند، زیاد بوده و بخش‌های میانی حوزهٔ آبخیز از مقدار کمی برخوردارند.

به منظور مقایسه بهتر الگوی مکانی شاخص ظرفیت انتقال رسوبر با شاخص پیوستگی رسوبر، سه بخش که در نقشهٔ شاخص پیوستگی رسوبر بزرگ‌نمایی شده بود؛ در نقشهٔ شاخص ظرفیت انتقال رسوبر نیز مدنظر قرار گرفته است. در بخش بزرگ‌نمایی اول (الف) نقشهٔ شاخص ظرفیت انتقال رسوبر مشاهده می‌شود که پتانسیل انتقال رسوبر از اراضی به شبکهٔ زهکشی زیاد به دست آمده است. در بخش بزرگ‌نمایی دوم (ب) نقشه نیز مشاهده می‌شود که مقدار شاخص ظرفیت انتقال رسوبر بالا بوده و بر اساس این شاخص، رسوبرات به سادگی می‌توانند به شبکهٔ زهکشی منتقل شوند. همچنین، در بخش بزرگ‌نمایی

<sup>۱</sup> Stream power index



شکل ۳- نقشهٔ شاخص ظرفیت انتقال رسوب حوزهٔ آبخیز نی ریز استان فارس  
Figure 3- Sediment transport capacity index map of Neyriz Watershed in Fars province

شاخص ظرفیت انتقال رسوب به دست آمده و نشان می‌دهد که این شاخص در هفت موقعیت به اشتیاه پتانسیل شار رسوب را بالا پیش‌بینی نموده در حالی که در مشاهدات میدانی صحت نداشته است. این درحالی است که این موضوع در ارزیابی شاخص پیوستگی رسوب تنها در دو مورد مشاهده شده است (جدول ۲). دلایل اصلی تفاوت عملکرد شاخص‌ها به مدل مفهومی آن‌ها ارتباط دارد؛ به گونه‌ای که شاخص پیوستگی رسوب با در نظر گرفتن وضعیت بالادست هر نقطه و مسیر انتقال رسوب آن به هدف تحويل گیرنده فرآیند شار رسوب را در نظر می‌گیرد. این در حالی است که شاخص ظرفیت انتقال رسوب، تنها به شرایط نقطهٔ مورد نظر بستنده کرده و صرفاً پتانسیل حرکت رسوب را توصیف می‌نماید و قابلیت برای در نظر گرفتن ادامهٔ مسیر ندارد. این موارد تأیید کننده نتایج تحقیقات Llena et al. (2018)، Najafi et al. (2018)، Buter et al. (2020)، Zingaro et al. (2019) و Arabkhedri et al. (2021) است که بر اساس آن مشخص شد که شاخص پیوستگی رسوب به دلیل محاسبهٔ سریع، هزینهٔ کم و قابلیت استفاده از داده‌های زودیافت

### ۳-۳- صحت‌سنجی و مقایسهٔ عملکرد شاخص‌های شار رسوب

بر اساس تحلیل شواهد در بازدیدهای میدانی بخش‌های مختلف حوزهٔ آبخیز نی ریز، تغییرات مکانی و تنوع وضعیت شار رسوب در این حوزهٔ آبخیز مورد تأیید قرار گرفت. نتایج محاسبهٔ معیارهای آماری کمی مورد استفاده در این تحقیق در جدول ۲ نشان داده شده است. همان‌گونه که ملاحظه می‌شود، مقدار آمارهٔ مهارت صحیح (TSS)، کارایی (E) و امتیاز F در ارزیابی شاخص پیوستگی رسوب به ترتیب  $0.83^3$ ،  $0.916$  و  $0.915$  به دست آمدند. از سویی دیگر، آمارهٔ مهارت صحیح (TSS)، کارایی (E) و امتیاز F برای شاخص ظرفیت انتقال رسوب به ترتیب  $0.633$ ،  $0.816$  و  $0.825$  شدند. بنابراین، هر سه معیار ارزیابی مؤید این موضوع هستند که شاخص پیوستگی رسوب عملکرد بهتری نسبت به شاخص ظرفیت انتقال رسوب از نظر توصیف پتانسیل شار رسوب در بخش‌های مختلف حوزهٔ آبخیز نی ریز داشته است. مؤلفه‌های ماتریس خط‌می‌توانند در تحلیل نواقص و مزایای هر یک از شاخص‌های مورد بررسی اطلاعات مفیدی را فراهم سازند. عدد هفت برای مقدار مؤلفهٔ نادرست مثبت (FP)، در

دستگاه‌های اجرایی در حوزه‌های آبخیز کشور پیشنهاد می‌شود. به منظور بررسی‌های بیشتر و آینده‌پژوهی بهتر، مطالعه پیوستگی رسوب در یک حوزه آبخیز با اطلاعات دقیق و مقایسه آن با نتایج منشاء‌یابی رسوبات می‌تواند کام مهمنی در پیشبرد و رنقاء مدیریت رسوب در حوزه‌های آبخیز کشور باشد.

### سپاسگزاری

این اثر بر گرفته از بخشی از نتایج پژوهه تحقیقاتی با عنوان "ارزیابی و اصلاح شاخص پیوستگی رسوب برای کاربرد در حوزه‌های آبخیز هموار (تحقیق موردی: حوزه آبخیز نی‌ریز استان فارس)"، با شماره ۵۷۲۴ مصوب ۷۰-۲-۵۰-۲۹۰۰۵-۰۰۰۹۷۰ و شماره فروست ۶۵۷۲۴ مصوب در پژوهشکده حفاظت خاک و آبخیزداری است. نویسنده‌گان این مقاله بر خود لازم می‌دانند از همکاری و پشتیبانی‌های پژوهشکده و مرکز تحقیقات و آموزش کشاورزی و منابع طبیعی استان فارس، سپاسگزاری و قدردانی نمایند.

### تضاد منافع نویسنده‌گان

نویسنده‌گان مقاله اعلام می‌دارند که هیچ‌گونه تضاد منافعی در خصوص نگارش و انتشار مطالب و نتایج این تحقیق وجود ندارند.

### دسترسی به داده‌ها

همه اطلاعات و نتایج، در متن مقاله ارائه شده است.

### مشارکت نویسنده‌گان

سید مسعود سلیمان‌پور: نگارش نسخه اولیه مقاله، مفهوم‌سازی؛ امید رحمتی: نرم‌افزار، ویرایش مقاله، تحلیل داده؛ محمود عرب‌حدری: راهنمایی، ویرایش مقاله؛ جان تیفن‌باچر: راهنمایی، ویرایش مقاله.

### منابع

تارنمای اداره کل هواشناسی استان فارس (۱۴۰۲). گزارش گیری آمار هواشناسی شهرستان‌های استان فارس <https://www.farsmet.ir/ReportAmar.aspx> رحمتی، امید، سلیمان‌پور، سید مسعود عرب‌حدری، محمود، مهرجو، سردار، کلالتری، زهرا، کرما، استفانو، کاوالی، مارکو، و پهمنی، عارف (۱۴۰۲). ارزیابی تأثیر اقدامات آبخیزداری بر پیوستگی رسوب در حوزه آبخیز خامسان استان کردستان. گزارش نهایی پژوهه تحقیقاتی، پژوهشکده حفاظت خاک و آبخیزداری، ۹۸ صفحه. سلیمان‌پور، سید مسعود، رحمتی، امید، عرب‌حدری، محمود، و تیفن باچر، جان (۱۴۰۳). ارزیابی و اصلاح شاخص پیوستگی رسوب برای کاربرد در حوضه‌های هموار (تحقیق موردی: حوزه آبخیز

(مانند مدل رقومی ارتفاع)، یک ابزار مفید و مناسب برای مطالعه فرسایش خاک و تحويل رسوب در مقیاس حوزه آبخیز است. زیرا در موقعی که اطلاعاتی از میزان تولید رسوب در دسترس نیست؛ شاخص پیوستگی رسوب می‌تواند اطلاعات مفیدی از تحقیق تأییدکننده مزایای استفاده از شاخص پیوستگی رسوب در شناسایی و اولویت‌بندی بخش‌های مختلف یک حوزه آبخیز برای اجرای اقدامات مدیریت رسوب است که با نتایج مطالعه Gay et al. (2016) نیز تأیید نمودند که شاخص پیوستگی رسوب حتی در مناطق هموار نیز قابلیت بالایی در ترسیم الگوی شار رسوب حوزه آبخیز دارد که مؤید یافته‌این تحقیق است.

### جدول ۲- نتایج ارزیابی عملکرد شاخص‌های پیوستگی رسوب و ظرفیت انتقال رسوب

Table 2- Performance evaluation results in sediment connectivity indicators and sediment transport capacity

معیار ارزیابی	پیوستگی رسوب	ظرفیت انتقال رسوب
صحیح منفی (TN)	28	23
نادرست مثبت (FP)	2	7
نادرست منفی (FN)	3	4
صحیح مثبت (TP)	27	26
آماره مهارت صحیح (TSS)	0.833	0.633
کارایی (E)	0.919	0.816
امتیاز F (F-score)	0.915	0.825

### ۴- نتیجه‌گیری

بر اساس معیارهای ارزیابی آماری، شاخص پیوستگی رسوب بهتر توانسته است که وضعیت شار رسوب را در مقیاس حوزه آبخیز توصیف نماید و با نتایج آن در زمینه الگوی مکانی شار رسوب واقعیت‌های میدانی مطابقت بیشتری دارد. به‌طوری‌که شاخص پیوستگی رسوب علاوه‌بر در نظر گرفتن خصوصیات محدوده بالادست هر نقطه از حوزه آبخیز، امکان در نظر گرفتن مسیر انتقال ذره رسوب تا محل هدف تحويل گیرنده (مانند نزدیک‌ترین شاخه شبکه زهکشی) را میسر نموده است.

بر اساس یافته‌های بهدست آمده در این تحقیق، اگر چه شاخص ظرفیت انتقال رسوب در برخی از بخش‌های حوزه آبخیز نی‌ریز استان فارس هم‌راستا با شاخص پیوستگی رسوب بوده است؛ اما این شاخص بدلیل ماهیت مبتنی بر انرژی جریان، صرفاً شرایط محلی نقاط را در نظر گرفته و از خصوصیات محدوده بالادست و فرآیند انتقال ذره رسوب به پایین‌دست چشم‌پوشی می‌نماید. از این‌رو، استفاده از شاخص پیوستگی رسوب در مطالعات فرسایش و رسوب و اقدامات آبخیزداری

- فیضیشی و رسوب‌گذاری در خاک شخم‌خورده با استفاده از شاخص اتصال‌رسوب. گزارش نهایی پروژه تحقیقاتی، پژوهشکده حفاظت خاک و آبخیزداری، ۹۶ صفحه.
- نحوی، سعید، صادقی، سید حمیدرضا، و هکمن، توبیاس (۱۳۹۶). تغییرات زمانی و مکانی الگوی اتصال ساختاری رسوب در حوزه آبخیز تهمچای زنجان. پژوهش‌های حفاظت آب و خاک، ۳(۲)، ۱۳۱-۱۴۷. doi: 10.22069/JWFST.2017.11220.2557
- نحوی، سعید، صادقی، سید حمیدرضا، و هکمن، توبیاس (۱۳۹۷). تحلیل الگوی اتصال ساختاری رسوب در حوزه آبخیز تهم زنجان. مهندسی و مدیریت آبخیز، ۱۰(۲)، ۱۹۲-۲۰۳. doi:10.22092/ijwmse.2018.116466
- نریز استان فارس. گزارش نهایی پروژه تحقیقاتی، پژوهشکده حفاظت خاک و آبخیزداری، ۸۴ صفحه.
- گرامی، زهرا، عرب‌حدری، محمود، کریمی، احمد، و اسدی، حسین (۱۴۰۱). مروری بر مبانی و کاربرد شاخص اتصال‌رسوبی در مطالعات فرسایش خاک. تحقیقات آب و خاک ایران، ۹(۵۳)، ۲۱۹۱-۲۲۰۸.
- doi: 10.22059/IJSWR.2022.345385.669310
- عرب، سعید، یاسمین، نادری خوراسگانی، مهدی، اسدی، محمد، و کیا، پروین (۱۳۹۹). تخمین دبی رواناب، رسوب و شناخت عوامل ژئومورفومتریک به کمک DTM در حوزه آبخیز بهادریگ، مهندسی و مدیریت آبخیز، ۱۲(۲)، ۴۶۷-۴۸۰. doi:10.22092/ijwmse.2019.123155.1539
- عرب‌حدری، محمود، گرامی، زهرا، بیات، رضا، نبی‌لشکریان، سعید، پشوتنی، پرویز، و شکری‌ستزچی، ایرج (۱۴۰۱). بررسی مناطق Processes and Landforms, 40(2), 177-188. doi:10.1002/esp.3635
- Buter, A., Spitzer, A., Comiti, F., & Heckmann, T. (2020). Geomorphology of the Sulden River basin (Italian Alps) with a focus on sediment connectivity. *Journal of Maps*, 16(2), 890-901. doi:10.1080/17445647.2020.1841036
- Cavalli, M., & Marchi, L. (2008). Characterization of the surface morphology of an alpine alluvial fan using airborne LiDAR. *Natural Hazards Earth System Sciences*, 8, 323-333. doi:10.5194/nhess-8-323-2008
- Cavalli, M., Trevisani, S., Comiti, F., & Marchi, L. (2013). Geomorphometric assessment of spatial sediment connectivity in small Alpine catchments. *Geomorphology*, 188, 31-41. doi:10.1016/j.geomorph.2012.05.007
- De Roo, A.P.J., (1998). Modelling runoff and sediment transport in catchments using GIS. *Hydrological Processes*, 12(6), 905-922. doi:10.1002/(SICI)1099-1085(199805)12:6<905::AID-HYP662>3.0.CO;2-2
- Derakhshan-Babaei, F., Mirchooli, F., Mohammadi, M., Nosrati, K., & Egli, M. (2022). Tracking the origin of trace metals in a Watershed by identifying fingerprints of soils, landscape and river sediments. *Science of The Total Environment*, 835, 155583. doi:10.1016/j.scitotenv.2022.155583
- Frattini, P., Crosta, G., & Carrara, A. (2010). Techniques for evaluating the performance of landslide susceptibility models. *Engineering Geology*, 111(1-4), 62-72. doi:10.1016/j.enggeo.2009.12.004
- Fryirs, K.A., Brierley, G.J., Preston, N.J., & Kasai, M. (2007). Buffers, barriers and blankets: the (dis)connectivity of catchment-scale sediment cascades. *Catena*, 70(1), 49-67. doi:10.1016/j.catena.2006.07.007
- Gay, A., Cerdan, O., Mardhel, V., & Desmet, M. (2016). Application of an index of sediment

## References

- Allouche, O., Tsoar, A., & Kadmon, R. (2006). Assessing the accuracy of species distribution models: prevalence, kappa and the true skill statistic (TSS). *Applied Ecology*, 43(6), 1223-1232. doi:10.1111/j.1365-2664.2006.01214.x
- Arab, S., Segar, Y., Naderi Khorasgani, M., Asadi, M., & Kia., P. (2020). Estimation of runoff, sediment discharge and recognition geomorphometric factors using DTM in Bahadorbeyg Basin. *Watershed Engineering and Management*, 12(2), 467-480. doi:10.22092/ijwmse.2019.123155.1539 [In Persian]
- Arabkhedri, M., Gherami, Z., Bayat, R., Nabipeylashkarian, S., Pashutani, P., & Shokrisaghazchi, I. (2022). Investigating erosion and sedimentation areas in plowed soil using the sediment binding index. Final report of research project, Soil Conservation and Watershed Management Research Institute, 96 pages. [In Persian]
- Arabkhedri, M., Heidary, K., & Parsamehr, M.R. (2021). Relationship of sediment yield to connectivity index in small Watersheds with similar erosion potentials. *Soils and Sediments*, 21(7), 1-10. doi:10.1007/s11368-021-02978-z
- Batista, P.V., Fiener, P., Schepers, S., & Alewell, C. (2022). A conceptual-model-based sediment connectivity assessment for patchy agricultural catchments. *Hydrology and Earth System Sciences*, 26(14), 3753-3770. doi:10.5194/hess-26-3753-2022
- Borselli, L., Cassi, P., & Torri, D. (2008). Prolegomena to sediment and flow connectivity in the landscape: A GIS and field numerical assessment. *Catena*, 75, 268-277. doi:10.1016/j.catena.2008.07.006
- Bracken, L.J., Turnbull, L., Wainwright, J., & Bogaart, P. (2015). Sediment connectivity: a framework for understanding sediment transfer at multiple scales. *Earth Surface*

- connectivity in a lowland area. *Journal of Soils and Sediments*, 16, 280-293. doi:10.1007/s11368-015-1235-y
- Gerami, Z., Arabkhedri, M., Karimi, A., & Asadi, H. (2023). A Review of fundamentals and applications of sediment connectivity index in soil erosion studies. *Iranian Journal of Soil and Water Research*, 53(9), 2191-2208. doi: 10.22059/IJSWR.2022.345385.669310 [In Persian]
- Heckmann, T., Cavalli, M., Cerdan, O., Foerster, S., Javaux, M., Lode, E., Smetanova, A., Vericat, D., & Brardinoni, F. (2018). Indices of sediment connectivity: opportunities, challenges and limitations. *Earth-Science Reviews*, 187(12), 77-108. doi:10.1016/j.earscirev.2018.08.004
- Hirschberg, J., Badoux, A., McArdell, B.W., Leonarduzzi, E. & Molnar, P. (2021). Evaluating methods for debris-flow prediction based on rainfall in an Alpine catchment. *Natural Hazards and Earth System Sciences*, 21(9), 2773-2789. doi:10.5194/nhess-21-2773-2021
- Houben, P. (2008). Scale linkage and contingency effects of field-scale and hillslope-scale controls of long-term soil erosion: Anthropogeomorphic sediment flux in agricultural loess Watersheds of Southern Germany. *Geomorphology*, 101(1), 172-191. doi:10.1016/j.geomorph.2008.06.007
- Kalantari, Z., Cavalli, M., Cantone, C., Crema, S., & Destouni, G. (2017). Flood probability quantification for road infrastructure: Data-driven spatial-statistical approach and case study applications. *Science of the Total Environment*, 581-582, 386-398. doi:10.1016/j.scitotenv.2016.12.147
- Keesstra, S., Nunes, J.P., Saco, P., Parsons, T., Poeppl, R., Masselink, R., & Cerdá, A. (2018). The way forward: Can connectivity be useful to design better measuring and modelling schemes for water and sediment dynamics?. *Science of The Total Environment*, 644, 1557-1572. doi: 10.1016/j.scitotenv.2018.06.342
- Kheir, R.B., Wilson, J., & Deng, Y. (2007). Use of terrain variables for mapping gully erosion susceptibility in Lebanon. *Earth Surface Processes and Landforms: The Journal of the British Geomorphological Research Group*, 32(12), 1770-1782. doi:10.1002/esp.1501
- Liu, W., Shi, C., Ma, Y., & Wang, Y. (2022). Evaluating sediment connectivity and its effects on sediment reduction in a catchment on the Loess Plateau, China. *Geoderma*, 408, 115566. doi:10.1016/j.geoderma.2021.115566
- Llena, M., Vericat, D., Cavalli, M., Crema, S., & Smith, M.W. (2019). The effects of land use and topographic changes on sediment connectivity in mountain catchments. *Science of the Total Environment*, 660, 899-912. doi:10.1016/j.scitotenv.2018.12.479
- López-Vicente, M., & Ben-Salem, N. (2019). Computing structural and functional flow and sediment connectivity with a new aggregated index: A case study in a large Mediterranean catchment. *Science of the Total Environment*, 651, 179-191. doi:10.1016/j.scitotenv.2018.09.170
- Lu, X., Li, Y., Washington-Allen, R.A., & Li, Y. (2019). Structural and sedimentological connectivity on a rilled hillslope. *Science of the Total Environment*, 655, 1479-1494. doi: 10.1016/j.scitotenv.2018.11.137
- Mishra, K., Sinha, R., Jain, V., Nepal, S., & Uddin, K. (2019). Towards the assessment of sediment connectivity in a large Himalayan river basin. *Science of The Total Environment*, 661, 251-265. doi:10.1016/j.scitotenv.2019.01.118
- Najafi, S., Dragovich, D., Heckmann, T., & Sadeghi, S.H.R. (2021). Sediment connectivity concepts and approaches. *Catena*, 196, 104880. doi:10.1016/j.catena.2020.104880
- Najafi, S., Sadeghi, S.H.R., & Heckmann, T. (2017). Temporospatial variations of structural sediment connectivity patterns in Taham-Chi Watershed in Zanjan Province, Iran. *Water and Soil Conservation*, 24(3), 131-147. doi: 10.22069/JWFST.2017.11220.2557 [In Persian]
- Najafi, S., Sadeghi, S.M., & Heckmann, T. (2018). Analyzing structural sediment connectivity pattern in Taham Watershed, Iran. *Watershed Engineering and Management*, 10(2), 192-203. doi:10.22092/ijwmse.2018.116466 [In Persian]
- Poeppl, R.E., Fryirs, K.A., Tunnicliffem, J., & Brierley, G.J. (2020). Managing sediment (dis)connectivity in fluvial systems. *Science of the Total Environment*, 736, 139627. doi:10.1016/j.scitotenv.2020.139627
- Poesen, J. (2018). Soil erosion in the anthropocene: research needs. *Earth Surface Processes and Landforms*, 43(1), 64-84. doi:10.1002/esp.4250
- Rahmati, O., Kornejady, A., Samadi, M., Deo, R.C., Conoscenti, C., Lombardo, L., Dayal, K., Taghizadeh-Mehrjardi, R., Pourghasemi, H.R., Kumar, S., & Bui, D.T. (2019). PMT: New analytical framework for automated evaluation of geo-environmental modelling approaches. *Science of the total environment*, 664, 296-311. doi: 10.1016/j.scitotenv.2019.02.017
- Rahmati, O., Soleimanpour, S.M., Arabkhedri, M., Mehrjo, S., Kalantari, Z., Crema, S., Cavalli, M., & Bahmani, A. (2022). Evaluating the impact of Watershed management measures on sediment connectivity in the Khamesan Watershed, Kurdistan province. Final report of research project, Soil Conservation and Watershed Management Research Institute, 98 pages. [In Persian]

- SoleimaniPour, S.M., Pourghasemi, H.R., & Zare, M. (2021). A comparative assessment of gully erosion spatial predictive modeling using statistical and machine learning models. *Catena*, 207, 105679. doi:10.1016/j.catena.2021.105679
- SoleimaniPour, S.M., Rahmati, O., Arabkhedri, M., & Tiefenbacher, J. (2024). Evaluation and modification of sediment connectivity index for application in smooth Watersheds conditions (case study: Neyriz Watershed, Fars province). Final report of research project, Soil Conservation and Watershed Management Research Institute, 84 pages. [In Persian]
- Website of the General Department of Meteorology of Fars Province. (2023). Reporting meteorological statistics of the cities of Fars province (<https://www.farsmet.ir/ReportAmar.aspx>).
- Zhang, Y., Huang, C., Zhang, W., Chen, J., & Wang, L. (2021). The concept, approach, and future research of hydrological connectivity and its assessment at multiscales. *Environmental Science and Pollution Research*, 28, 52724-52743. doi:10.1007/s11356-021-16148-8
- Zingaro, M., Refice, A.D., Addabbo, A., Hostache, R., Chini, M., & Capolongo, D. (2020). Experimental application of sediment flow connectivity index (SCI) in flood monitoring. *Water*, 12(7), 1857. doi:10.3390/w12071857
- Zingaro, M., Refice, A.D., Giachetta, E.D., Addabbo, A., Lovergne, F., De Pasquale, V., Pepe, G., Brandolini, P., Cevasco, A., & Capolongo, D. (2019). Sediment mobility and connectivity in a catchment: A new mapping approach. *Science of the Total Environment*, 672, 763-775. Doi:10.1016/j.scitotenv.2019.03.461